

بررسی اثر حفاظتی پنتوکسیفیلین بر آسیب کبدی القاء شده توسط دگرامتاژون در موش سوری

ملک سلیمانی مهرنجانی^{۱*}، منیره محمودی^۲، فیروزه صادق زاده^۳

تاریخ دریافت ۱۳۹۸/۰۶/۱۰ تاریخ پذیرش ۱۳۹۸/۰۹/۰۷

چکیده

پیش‌زمینه و هدف: دگرامتاژون یکی از پرمصرف‌ترین گلوکوکورتیکوئیدهای مصنوعی است که مصرف بیش از حد آن می‌تواند تغییرات شدید در عملکرد کبد ایجاد کند. هدف از این مطالعه بررسی اثر پنتوکسیفیلین بر آسیب کبدی القاء شده توسط دگرامتاژون در موش سوری بود.

مواد و روش کار: تعداد ۲۴ سر موش سوری نر بالغ تراز (NMRI) با میانگین وزنی ۳۶ ± 2 گرم به صورت تصادفی در ۴ گروه (n=6) کنترل، دگرامتاژون (۱۰۰ mg/kg/b.w. i.p.), پنتوکسیفیلین (۷mg/kg/b.w. i.p.) و دگرامتاژون+پنتوکسیفیلین تقسیم شد. بعد از ۷ روز تیمار، موش‌ها تشریح و کبد آن‌ها خارج و وزن شد. سپس اجزای بافت کبد با روش استریولوژی مورد ارزیابی قرار گرفت. همچنین سطح مالون دی‌آلدید (MDA) و آسپارتات‌آمینوترانسفراز (AST) [Alanine Aminotransferase, (ALT)]، [Malondialdehyde, (MDA)]، [Aspartate Aminotransferase, (AAT)] و آزمون Tukey One-Way ANOVA توسط نرم‌افزار SPSS ورژن ۱۶، آنالیز و تفاوت میانگین‌ها در حد ($p < 0.05$) معنی‌دار در نظر گرفته شد.

یافته‌ها: کاهش معنی‌داری در حجم سلول و هسته هپاتوسيت‌ها، تعداد کل سلول‌های هپاتوسيت ($p < 0.01$) و سطح ظرفیت آنتی‌اکسیدانی تام سرم ($p < 0.001$) و افزایش معنی‌داری در حجم کل سینوزوئیدها، مجرای صفوایی، شریان کبدی و همچنین میانگین سطح سرمی ALT و MDA در گروه دگرامتاژون نسبت به گروه کنترل مشاهده شد ($p < 0.01$). آسیب‌های کبدی القاء شده توسط دگرامتاژون در گروه پنتوکسیفیلین+دگرامتاژون بهبود پیدا کرد و به سطح گروه کنترل رسید ($p < 0.05$).

بحث و نتیجه‌گیری: نتایج ما نشان داد که پنتوکسیفیلین می‌تواند اثرات سمی دگرامتاژون بر بافت کبد موش را احتمالاً از طریق کاهش استرس اکسیداتیو و پراکسیداسیون لبیدی و افزایش ظرفیت آنتی‌اکسیدانتی تام بهبود بخشد.

کلیدواژه‌ها: دگرامتاژون، پنتوکسیفیلین، کبد، استریولوژی، موش

مجله پژوهشی ارومیه، دوره سی‌ام، شماره دهم، ص ۸۴۵-۸۵۵ دی ۱۳۹۸

آدرس مکاتبه: دانشگاه اراک، دانشکده علوم پایه، گروه زیست‌شناسی، اراک کد پستی ۳۸۱۵۶-۸۳۴۹، تلفن: ۰۹۱۸۱۶۱۷۰۹۸

Email: m-soleimani@araku.ac.ir

مقدمه

شدید در عملکرد کبد ایجاد کند (۳). همچنین می‌تواند بر برخی از عملکردهای مهم هپاتوسيت‌ها، از جمله متابولیسم گلوکز، متابولیسم اکسیداتیو زنوبیوتیک‌ها با القای سیتوکروم P4503A و چرخه اوره تأثیر بگذارد. علاوه بر این، مصرف بیش از حد آن به بزرگ شدن کبد، استئاتوز یا گلیکوژن، همراه با ذخیره اینه گلیکوژن در هپاتوسيت‌ها منجر می‌شود (۴). از طرفی بسیاری از گزارش‌ها نشان داده است که دوز بالای دگرامتاژون موجب افزایش پراکسیداسیون لبید، تولید گونه‌های فعال اکسیژن (ROS)، مهار آنزیم‌های آنتی‌اکسیدان و

کبد یکی از مهم‌ترین اندام‌هایی است که تعادل متابولیسم بدن را تنظیم می‌کند. آسیب حاد کبدی ایجادشده با علل مختلف، به التهاب، استرس اکسیداتیو و نکروز سلول‌های کبدی منجر می‌شود (۱) دگرامتاژون یکی از داروهای گلوکوکورتیکوئیدی است که معمولاً به عنوان داروی سرکوب کننده و ضدالتهاب در سراسر جهان استفاده می‌شود (۲). دگرامتاژون اغلب در کبد بوسیله سیتوکروم P4503A متابولیزه می‌شود. با این حال، مصرف بیش از حد آن می‌تواند تغییرات

^۱ استاد، بافت و جین‌شناسی، دانشگاه اراک، اراک، ایران (نویسنده مسئول)

^۲ استادیار، علوم جانوری (گرایش سلولی-تکوینی)، دانشگاه اراک، اراک، ایران

^۳ کارشناسی ارشد، علوم جانوری (گرایش سلولی-تکوینی)، دانشگاه اراک، اراک، ایران

حیوانات به مدت ۷ روز و به صورت تریق داخل صفاقی انجام گرفت. در تمام مراحل انجام کار، اصول اخلاقی کار با حیوانات رعایت گردید. ۲۴ ساعت پس از آخرین تریق، موش‌ها توزین و توسط دی‌اتیل‌اتر بیهوش شدند. بافت کبد آن‌ها خارج و وزن تر آن اندازه‌گیری شد. مجدداً وزن کبد به روش غوطه‌ورسانی (immersion) سنجش شد که در این روش، بعد از وزن کردن یک بشر کوچک حاوی آب مقطر، ترازو به حالت صفر درآمد. سپس کبد با کمک یک نخ بسیار نازک بسته شده و به درون بشر فرو برده شد و وزن کبد یادداشت گردید که بعنوان حجم اولیه کبد (Volume primary) به سانتی‌متر مکعب در نظر گرفته شد. سپس بافت‌ها به‌منظور ثبوت به مدت یک هفته در فیکساتیو NBF (neutral buffered formalin) نگهداری شدند.

بررسی بافت کبد با روش استریولوژی:

با استفاده از روش اورینتیتور (orientator) از کبد هر موش بصورت تصادفی یکنواخت برش‌های ایزوتروپیک (Isotropic) Uniform Random, IUR) تهیه شد. به‌منظور محاسبه چروکیدگی بافتی بطور میانگین و بصورت تصادفی از ۳ اسالیس مربوط به هر کبد قطعات گردی با ابزار تروکار تهیه و میانگین شعاع این قطعات محاسبه شد که بعنوان r_{before} در نظر گرفته می‌شود. پس از مراحل پاساژ بافتی و قالب‌گیری با پارافین توسط دستگاه بلوک‌گیری (مدل DS-L4 Paraffin dispenser plus (Leitz 1512 آلمان)، با دستگاه میکروتوم (مدل ۱۵۱۲ میکرون از نمونه‌های بافتی تهیه شد و رنگ‌آمیزی به روش هایدن‌هاین-آزان (Heidenhain's Azan) انجام گرفت (۱۴، ۱۳).

محاسبه چروکیدگی و تخمین حجم کل کبد:

بعد از مراحل پاساژ بافتی، برش‌گیری و رنگ‌آمیزی مقاطع ۵ میکرونی، شعاع برش‌های تروکار مجدداً اندازه‌گیری شد و به عنوان r_{after} در نظر گرفته شد و میزان چروکیدگی با استفاده از فرمول زیر تخمین زده شد.

$$\text{Volume shrinkage} = 1 - \left\{ \frac{r_{after}}{r_{before}} \right\}^2$$

سپس با استفاده از رابطه زیر حجم کل کبد به دست آمد (۲، ۱۵).

$$V_{final liver} = V_{primary} \times (1 - \text{Volume shrinkage})$$

محاسبه دانسیته حجمی اجزای کبد:

برای محاسبه دانسیته حجمی (ρ_V) اجزای کبد، توسط روش نمونه‌گیری تصادفی منظم (Systemic

درنتیجه منجر به آسیب اکسیداتیو می‌شود (۲، ۵). بنابراین از آنجایی که ارتباط بین التهاب و استرس اکسیداتیو در مورد آسیب کبدی ثابت شده و غیر قابل انکار است (۱)، محققان اخیراً استفاده از آنتی‌اکسیدان‌ها را در جلوگیری از افزایش استرس اکسیداتیو ناشی از دگزامتاژون پیشنهاد کرده‌اند (۶، ۷). بنابراین منطقی است که کاهش استرس اکسیداتیو ناشی از تجویز دگزامتاژون توسط یک آنتی‌اکسیدان قوی و کارآمد می‌تواند به کاهش سمیت بافت کبد منجر شود.

پنتوکسیفیلین (Pentoxifylline, PTX) با نام‌های Pentoxil-1 (5-oxohexyl-3,7-Dimethyl-xanthine) از مشتق‌ات گراناتین است و دارویی است که به طور معمول عامل کاهش‌دهنده ویسکوزیته خون، فعال‌کننده عروق و بهبود جریان خون محیطی است (۸). پنتوکسیفیلین همچنین یک مهارکننده فسفودیاستراز با اثرات آنتی‌اکسیدانی، ضدالتهاب و ضدفیروزی است که می‌تواند موجب افزایش میزان فعالیت سوپراکسیدیسموتاز، گلوتاتیون‌پراکسیداز، کاتالاز و روکتاز شود (۹، ۱۰) و از طرفی با غیرفعال کردن عواملی مانند سیتوکاین‌ها که نقش مهمی در التهاب دارند، موجب تقویت سیستم ایمنی و افزایش مقاومت بدن در مقابل بسیاری از بیماری‌ها گردد (۱۱). با در نظر گرفتن اینکه تاکنون تحقیقی مبنی بر استفاده از پنتوکسیفیلین به عنوان یک آنتی‌اکسیدان جهت درمان آسیب‌های بافتی و عملکردی بافت کبد ناشی از مصرف دگزامتاژون انجام نشده است، به‌منظور درک مکانیسم اثرات پنتوکسیفیلین بر آسیب‌های اکسیداتیو بافت کبد، در این مطالعه بر آن شدیدم تا علاوه بر بررسی اثرات نامطلوب دگزامتاژون بر بافت کبد، به صورت همزمان اثر محافظتی پنتوکسیفیلین، را نیز به عنوان یک آنتی‌اکسیدانت برروی این تغییرات ارزیابی کنیم.

مواد و روش کار

مطالعه بر روی ۲۴ سر موش سوری نر بالغ نژاد (NMRI) با میانگین وزنی ۳۶ ± ۲ گرم انجام گرفت. موش‌ها از انستیتو پاستور ایران خریداری و در خانه حیوانات دانشگاه ارakk بر طبق دستور عمل مراقبت از حیوانات آزمایشگاهی و در شرایط استاندارد (دمای ۲۱ ± ۲ درجه سانتی‌گراد و نور محیطی با شرایط ۱۲ ساعت تاریکی و ۱۲ ساعت روشنایی) و دسترسی آزاد به آب و غذا برای سازگاری با محیط به مدت یک هفته نگهداری شدند. حیوانات به ۴ گروه (n=6): کنترل، دگزامتاژون (۷ میلی‌گرم بر کیلوگرم (۱۲)، Sigma, Germany)، پنتوکسیفیلین (۱۰۰ میلی‌گرم بر کیلوگرم (۹)، Sigma, Germany) و پنتوکسیفیلین + دگزامتاژون تقسیم شدند. تیمار

تخمین حجم هپاتوسیت و هسته آن:

برای محاسبه حجم هپاتوسیت و حجم هسته آن از روش نوکلئاتور (Nucleator) و فریم مخصوص شمارش استفاده شد. در این روش هسته هپاتوسیت ملاک انتخاب در نظر گرفته شد. به این صورت که با میکروسکوپ مجهر به دوربین عکس برداری و با بزرگنمایی $\times 1000$ با استفاده از میکروکیتور در جهت محور Z در عمق برش‌های اپتیکال ($15\mu\text{m}$) حرکت کرده و هر هپاتوسیتی که هسته آن در داخل فریم مخصوص شمارش به حالت ماکریزم فوکوس درآید، انتخاب شد. سپس یک جهت ایزوتروپیک از یک نقطه تصادفی داخل هسته (مرکز هستک) در نظر گرفته شد و فاصله‌ها در هر جهت خارج از نقطه تا مرز هسته (برای تخمین حجم هسته) و تا غشاء سلول هپاتوسیت (برای تخمین حجم هپاتوسیت) با استفاده از نرمافزار موتیک (Motic images 2000)، اندازه‌گیری شد که این اندازه‌ها با \ln نشان داده می‌شود. سپس میانگین حجم بهوسیله رابطه زیر تخمین زده شد:

$$V_N = \frac{4\pi}{3} \cdot l_n^3 = \frac{4\pi}{3n} \sum_{i=1}^n l_{n,i}^3$$

l_n : فاصله از مرکز هستک تا غشاء هپاتوسیت یا مرکز هستک
تا غشاء هسته

ارزیابی‌های بیوشیمیابی

سنچش غلظت مالون دی آلدئید (MDA) سرم خون: برای اندازه‌گیری مالون دی آلدئید، از روش Buege و Aust استفاده شد. برای اینکار ابتدا یک محلول TCA-TBA-HCL شامل تری کلرواستیک اسید ۱۵٪ (gr/ml)، تیوباربیوتیک اسید ۲٪ (TBA) (gr/ml) و اسید کلریدریک ۰/۲۵٪ نرمال HCL تهیه شد. سپس ۵۰ میکرولیتر از نمونه سرم خون با ۱۰۰ میکرولیتر از محلول فوق مخلوط و به مدت ۱۵ دقیقه در بن ماری جوش قرار گرفت. نمونه‌ها به سرعت با استفاده از آب سرد خنک شده و به مدت ۱۰ دقیقه سانتریفیوژ شدند. مایع رویی به دقت جدا و جذب آن در ۵۳۲ نانومتر خوانده شد. در نهایت غلظت مالون دی آلدئید با استفاده از ضریب خاموشی (extinction coefficient) آن که عبارت است از $1.56 \times 10^{-5} \text{ M}^{-1} \text{ Cm}^{-1}$ (coefficient محسوبه گردید و بر حسب نانومول بر میلی لیتر (nmol/ml) بیان شد.

(۱۶).

و با استفاده از میکروسکوپ نوری Random sampling) (Olympus BX41TE, Japan) میکرونی تعدادی میدان دید بطور تصادفی انتخاب و دانسیته حجمی هپاتوسیت، سینوزوئیدها، بافت بینابینی، ورید مرکزی و ساختار تریاد پورتال شامل وریدها، سرخرگ‌ها و مجاری صفوایی محاسبه شد. بدین ترتیب که در همه میدان‌های دید انتخاب شده نقاط برخورد کرده از پروف نقشه‌ای با کل میدان دید انتخاب شده $(\sum_{i=1}^n P_{\text{reference}})$ شمارش شد. به همین ترتیب نقاط برخورد کرده با هپاتوسیت‌ها و دیگر اجزای کبد $(\sum_{i=1}^n P_{\text{structure}})$ نیز شمارش گردید. سپس دانسیته حجمی هر یک از اجزا با استفاده از فرمول زیر محاسبه گردید.

$$V_V = \frac{\sum_{i=1}^n P_{\text{structure}}}{\sum_{i=1}^n P_{\text{reference}}}$$

و در نهایت حجم کل مربوط به هر یک از اجزا بهطور غیر مستقیم و با ضرب کردن دانسیته حجمی آن در حجم کل کبد تخمین زده شد (۱۵).

تخمین تعداد سلول‌های هپاتوسیت در کبد:

برای محاسبه تعداد سلول‌های هپاتوسیت، از روش اپتیکال دایسکتور (Optical disector) و از فریم مخصوص شمارش (unbiased counting frame) استفاده شد. برش‌های ۱۵ میکرونی با بزرگنمایی $\times 1000$ به وسیله میکروسکوپ نوری مجهر به دوربین عکس برداری (Olympus DP12, Japan) به همراه ND 221 B, Heidenhain, Germany) میکروکیتور مدل (مشاهده و میدان‌های دید تصادفی به طور یکنواخت انتخاب گردید. در مجموع حدود ۱۵۰ - ۱۸۰ سلول در بافت کبد مربوط به هر موش شمارش و سپس از فرمول زیر دانسیته عددی هپاتوسیت‌ها محاسبه گردید.

$$N_V = \frac{\sum_{i=1}^n Q_i}{h \cdot \sum_{i=1}^n P_i \cdot a/f}$$

$\sum Q_i$ = مجموع تعداد هسته‌های هپاتوسیت شمرده شده.

h = ارتفاعی از برش که در آن شمارش صورت می‌گیرد (ارتفاع دایسکتور)

$\sum P_i$ = مجموع نقاط برخورد کرده با فیلدهای انتخابی.

a/f = سطح فریم در مقیاس واقعی بافت.

پس از محاسبه دانسیته عددی، عدد حاصل در حجم کل کبد مربوطه ضرب شد تا تعداد کل هپاتوسیت‌ها به دست آید (۱۵، ۲).

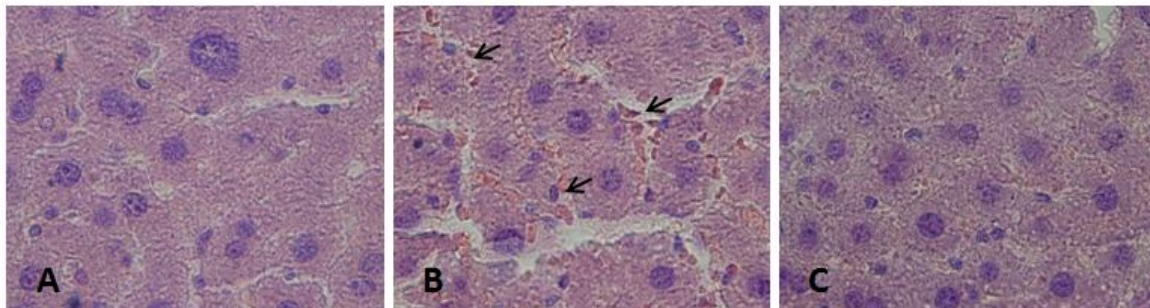
$$\text{extinction coefficient} : \frac{\text{جنب}}{1/56 \times 10^5} = \boxed{x} \quad \text{Mol/l} = \boxed{x} \times 10^6 = \text{nmol/ml}$$

آنالیز داده‌ها:

داده‌های حاصل توسط نرم‌افزار SPSS (V16/0) و روش آنالیز واریانس یک‌طرفه (One Way ANOVA) و تست Tukey مورد تجزیه و تحلیل آماری قرار گرفت و تفاوت میانگین‌ها در سطح $p < 0.05$ معنی‌دار در نظر گرفته شد.

یافته‌ها**یافته‌های هیستوپاتولوژیکی:**

ساختار کبد در گروه‌های کنترل و پنتوکسیفیلین کاملاً طبیعی بود (شکل A). با این حال دگزامتاژون موجب بی‌نظمی در ساختار کبد و اتساع سینوزوئیدها شد (شکل B)، در گروه تیمار همزمان افزایش غلظت کمپلکس Fe^{+2} - Fe^{+3} (TPTZ) در طول موج ۵۹۳ نانومتر توسط دستگاه اسپکتروفوتومتر اندازه‌گیری گردید (۱۷).



شکل (۱): تصاویر میکروسکوپی از بافت کبد در گروه‌های مختلف موش (برش‌های ۵ میکرونی، با رنگ‌آمیزی هماتوکسیلین-ائوزین، بزرگنمایی $\times 200$). (A) ساختار طبیعی بافت کبد در گروه کنترل (B) بافت کبد در گروه دگزامتاژون، که در آن اتساع سینوزوئیدها () و پرخونی مشاهده می‌شود (C) ساختار طبیعی بافت کبد در گروه تیمار همزمان دگزامتاژون با پنتوکسیفیلین.

نسبت به گروه کنترل افزایش معنی‌داری نشان داد ($p < 0.001$). در گروه دگزامتاژون + پنتوکسیفیلین این میزان نسبت به گروه دگزامتاژون کاهش معنی‌داری یافت ($p < 0.001$) و به حد گروه کنترل رسید (جدول ۱).

سنجهن ظرفیت آنتی‌اکسیدانی تام به روش Ferric**:Reducing Ability of Plasma; FRAP)**

برای اندازه‌گیری آنتی‌اکسیدان‌های تام سرم از روش (FRAP) استفاده شد. این روش بر اساس توانایی سرم در احیای یون‌های Fe^{+2} به Fe^{+3} در حضور ماده‌ای به نام‌تری پیریدیل تربازین (TPTZ) استوار است. میزان احیا، کندگی هر نمونه از طریق افزایش غلظت کمپلکس Fe^{+2} - Fe^{+3} در طول موج ۵۹۳ نانومتر توسط دستگاه اسپکتروفوتومتر اندازه‌گیری گردید (۱۷).

آنزیم‌های AST و ALT

سنجهن فعالیت آنزیم‌های کبدی AST با استفاده از کیت آنزیمی (شرکت پارس آزمون lot no.92003) و ALT با استفاده از کیت آنزیمی (شرکت پارس آزمون lot no.92005) با کمک دستگاه اتو‌آنالیز (COBAS MIRA) انجام شد.

حجم کل کبد، هپاتوسیت‌ها، سینوزوئیدها و بافت پیوندی: اختلاف معنی‌داری در میانگین حجم کل کبد، حجم هپاتوسیت و حجم بافت پیوندی در بین گروه‌های مختلف مشاهده نشد (۰.۰۵ $>p$). اما میانگین حجم سینوزوئیدها در گروه دگزامتاژون

جدول (۱): مقایسه میانگین حجم کل کبد، حجم هپاتوسیت‌ها، سینوزوئیدها و بافت پیوندی (mm³) در گروه‌های مختلف موش پس از ۷ روز تیمار با دگزامتاژون (۷mg/kg/day) و پنتوکسیفیلین (۱۰۰ mg/kg/day)

گروه‌ها	حجم کبد	حجم هپاتوسیت‌ها	حجم سینوزوئیدها	حجم بافت پیوندی
کنترل	۱۳۴۲/۲۲ \pm ۴۵/۲۹ ^a	۹۶۷/۳۶ \pm ۴۷/۱۸ ^a	۶۵/۹۳ \pm ۹/۱۸ ^a	۲۰/۳۳ \pm ۲/۱۳ ^a
دگزامتاژون	۱۳۷۹/۲۸ \pm ۴۹/۳۰ ^a	۹۵۱/۴۲ \pm ۳۹/۸۰ ^a	۸۵/۲۶ \pm ۷/۹۸ ^b	۱۹/۶۵ \pm ۱/۰۹ ^a
دگزامتاژون+پنتوکسیفیلین	۱۳۶۸/۰۷ \pm ۵۰/۷۸ ^a	۹۶۶/۹۶ \pm ۳۴/۱۷ ^a	۷۰/۶۸ \pm ۱۰/۶۶ ^a	۲۰/۲۱ \pm ۱/۱۶ ^a
پنتوکسیفیلین	۱۳۵۹/۵۱ \pm ۶۱/۰۳ ^a	۹۶۷/۴۶ \pm ۴۷/۰۹ ^a	۶۹/۵۸ \pm ۸/۷۴ ^a	۲۱/۱۳ \pm ۰/۹۴ ^a

مقادیر به صورت Mean \pm SD می‌باشد. میانگین‌ها با کدهای مختلف دارای تفاوت معنی‌داری نسبت به یکدیگر می‌باشند. $p < 0.05$.

دگزاماتازون+پنتوکسیفیلین موجب کاهش این پارامترها نسبت به گروه دگزاماتازون شود، بطوری که در مقایسه با گروه کنترل اختلاف معنی داری مشاهده نگردید ($p > 0.05$). مقایسه حجم ورید پورتال و شریان کبدی در گروههای مختلف تفاوت معنی داری نشان نداد ($p < 0.05$) (جدول ۲).

حجم ورید مرکزی، ورید پورتال، مجرای صفراوي و شريان كبدی:

افزایش معنی داری در میانگین حجم ورید مرکزی و حجم مجرای صفراوي در گروه دگزاماتازون نسبت به گروه کنترل مشاهده شد ($p < 0.001$). در حالی که پنتوکسیفیلین توانست در گروه

جدول (۲): مقایسه میانگین حجم ورید مرکزی، ورید پورتال، مجرای صفراوي و شریان کبدی (mm^3) در گروههای مختلف موش پس از ۷ روز تیمار با دگزاماتازون ($7mg/kg/day$) و پنتوکسیفیلین ($100 mg/kg/day$).

گروهها	حجم ورید مرکزی	حجم ورید پورتال	حجم مجرای صفراوي	حجم شریان کبدی
کنترل	^a $169/62 \pm 12/44$	^a $79/90 \pm 9/03$	^a $20/20 \pm 1/89$	^a $3/48 \pm 0/84$
دگزاماتازون	$189/32 \pm 19/5^b$	^a $83/71 \pm 5/61$	^b $29/11 \pm 3/57$	^a $3/28 \pm 0/50$
دگزاماتازون+پنتوکسیفیلین	$174/45 \pm 9/66^a$	^a $82/36 \pm 7/49$	^a $23/42 \pm 3/94$	^a $3/46 \pm 0/51$
پنتوکسیفیلین	$166/52 \pm 16/87^a$	^a $82/54 \pm 9/69$	^a $19/69 \pm 3/72$	^a $3/67 \pm 0/57$

مقادیر به صورت Mean $\pm SD$ می باشد. میانگین ها با کدهای مختلف دارای تفاوت معنی داری نسبت به یکدیگر می باشند. ($One way ANOVA$, Tukey's test) ($p < 0.05$).

افزایش معنی داری در پارامترهای فوق الذکر در گروه تیمار همزمان دگزاماتازون و پنتوکسیفیلین در مقایسه با گروه دگزاماتازون مشاهده شد که در مقایسه با گروه کنترل تفاوت معنی داری نشان نداد ($p < 0.05$) (جدول ۳).

تعداد سلول هپاتوسیت، حجم سلول هپاتوسیت و هسته آن: مقایسه میانگین تعداد سلول هپاتوسیت ($p < 0.001$), حجم سلول هپاتوسیت ($p < 0.001$) و حجم هسته آن ($p < 0.001$) در گروه دگزاماتازون کاهش معنی داری نسبت به گروه کنترل نشان داد.

جدول (۳): مقایسه تعداد سلول هپاتوسیت ($\times 10^8$), حجم سلول هپاتوسیت و هسته آن (μm^3), در گروههای مختلف موش پس از ۷ روز تیمار با دگزاماتازون ($100 mg/kg/day$) و پنتوکسیفیلین ($7mg/kg/day$).

گروهها	تعداد سلول هپاتوسیت $\times 10^8$	حجم سلول هپاتوسیت	حجم هسته سلول هپاتوسیت	حجم هسته سلول هپاتوسیت
کنترل	^a $7/21 \pm 0/33$	^a $5324/45 \pm 361/13$	^a $385/49 \pm 41/76$	
دگزاماتازون	^b $5/64 \pm 0/81$	^b $4622/64 \pm 236/29$	^b $30/9/61 \pm 31/07$	
دگزاماتازون+پنتوکسیفیلین	^a $6/89 \pm 0/71$	^a $5239/23 \pm 129/19$	^a $365/14 \pm 36/08$	
پنتوکسیفیلین	^a $6/98 \pm 1/01$	^a $5139/92 \pm 214/94$	^a $41/0/60 \pm 53/21$	

مقادیر به صورت Mean $\pm SD$ می باشد. میانگین ها با کدهای مختلف دارای تفاوت معنی داری نسبت به یکدیگر می باشند. ($One way ANOVA$, Tukey's test) ($p < 0.05$).

به گروه کنترل کاهش معنی داری ($p < 0.001$) نشان داد. در گروه دگزاماتازون با پنتوکسیفیلین، میزان ظرفیت آنتی اکسیدانی افزایش معنی داری یافت و به حد گروه دگزاماتازون رسید. از مقایسه میانگین غلظت آنزیم های ALT و AST در گروه دگزاماتازون نسبت به گروه کنترل افزایش معنی داری مشاهده شد ($p < 0.001$) که این میزان در گروه دگزاماتازون + پنتوکسیفیلین کاهش معنی داری را نسبت به گروه دگزاماتازون نشان داد. بطوریکه میانگین غلظت ALT در

یافته های بیوشیمیابی میزان مالون دی آلدئید، ظرفیت آنتی اکسیدانی تام سرم و میانگین غلظت آنزیم های ALT و AST افزایش معنی داری در سطح MDA سرم موش های تحت تیمار با دگزاماتازون در مقایسه با گروه کنترل دیده شد ($p < 0.001$) در حالی که پنتوکسیفیلین منجر به کاهش معنی داری سطح آن در گروه دگزاماتازون + پنتوکسیفیلین نسبت به گروه دگزاماتازون گردید. میزان ظرفیت آنتی اکسیدانی تام در گروه دگزاماتازون نسبت

دگزاماتازون نتوانست میزان AST را به حد گروه کنترل برساند (جدول ۴).

گروه پنتوکسیفیلین + دگزاماتازون در مقایسه با گروه کنترل معنی دار نبود، بالین حال تیمار هم زمان پنتوکسیفیلین با

جدول (۴): مقایسه میانگین غلظت (nmol/ml) MDA، ظرفیت آنتی اکسیدانتی تام سرم (IU/L) AST و ALT در گروه های مختلف موش پس از ۷ روز تیمار با دگزاماتازون (mg/kg/day) و پنتوکسیفیلین (mg/kg/day).

گروهها	MDA	ظرفیت آنتی اکسیدانتی تام	غلظت AST	غلظت ALT
کنترل	۱/۸۵±۰/۲۵ ^a	۰/۷۵±۰/۰۱ ^{ac}	۱۶۳/۰۳±۱۱/۲۱ ^a	۷۹/۴۶±۹/۲۲ ^a
دگزاماتازون	۲/۰۳±۰/۲۳ ^b	۰/۵۱±۰/۰۲ ^b	۱۹۴/۹±۱۶/۲۳ ^c	۱۰۱/۹±۱۲/۲۸ ^b
دگزاماتازون+پنتوکسیفیلین	۱/۹۰±۰/۲۱ ^a	۰/۷۳±۰/۱۱ ^a	۱۷۶/۴۳±۵/۳۱ ^b	۸۵/۲۱±۸/۰۰ ^a
پنتوکسیفیلین	۱/۴۰±۰/۱۷ ^a	۰/۷۶±۰/۱۶ ^c	۱۷۲/۲۳±۹/۱۴ ^{ab}	۷۳/۱۱±۵/۱۹ ^a

مقادیر به صورت Mean \pm SD می باشد. میانگین ها با کدهای مختلف دارای تفاوت معنی داری نسبت به یکدیگر می باشند. p<0.05.

وزن بدن و کبد موش:
از مقایسه میانگین وزن بدن و وزن کبد در گروه های مختلف اختلاف معنی داری مشاهده نگردید (p>0.05) (جدول ۵).

جدول (۵): مقایسه میانگین وزن موش و وزن کبد (گرم)، در گروه های مختلف اخلاق معنی داری مشاهده نگردید (mg/kg/day).

گروهها	میانگین وزن اولیه موش (گرم)	میانگین وزن بعد از پایان تیمار (گرم)	میانگین وزن اولیه موش (گرم)
کنترل	۳/۷/۱۶±۰/۱۳ ^a	۳/۷/۰۱±۲/۸۹ ^a	۱/۹۲±۰/۰۵ ^{۱a}
دگزاماتازون	۳/۶/۶۶±۰/۳۸ ^a	۳/۵/۸۷±۰/۶۸ ^a	۲/۰۹±۰/۰۲ ^a
دگزاماتازون+پنتوکسیفیلین	۳/۵/۴۵±۰/۰۸ ^a	۳/۵/۱۱±۱/۸۳ ^a	۲/۱۹±۰/۰۲۵ ^a
پنتوکسیفیلین	۳/۵/۳۱±۰/۰۴۴ ^a	۳/۶/۲۳±۱/۰۵ ^a	۲/۴۵±۰/۰۳۳ ^a

مقادیر به صورت Mean \pm SD می باشد. میانگین ها با کدهای مختلف دارای تفاوت معنی داری نسبت به یکدیگر می باشند. p<0.05.

منجر به افزایش ذخیره گلیکوزن در سلول های هپاتوسیت می گردد (۱۹). رسوب گلیکوزن از اثرات ثانویه دگزاماتازون بر بافت کبد است که با افزایش شبکه اندوپلاسمی صاف، موجب افزایش هیبرتروفی کبد و درنتیجه افزایش سطح آنزیم ALT می شود (۴). علاوه بر این مطالعات محققی مخفتف نیز نشان داده است که دگزاماتازون در حیوانات آزمایشگاهی موجب افزایش میزان گلکوز، ALT و AST سرم می شود (۴، ۲۰). AST از آنزیم های سرمی هستند که به طور طبیعی در سلول های برخی از اندام ها از جمله کبد قرار گرفته اند. سطوح افزایش یافته این آنزیم ها، حاکی از نشت سلولی و نشانگر آسیب ساختار و اختلال عملکرد غشاء های سلولی در کبد می باشد (۴، ۲۱، ۲۲) که از جمله می تواند با تأثیر بر پمپ سدیم پتاسیم، اختلال در تعادل الکترولیتی و افزایش فشار اسمزی در

بحث و نتیجه گیری
از آنجایی که کبد مرکز اصلی سم زدایی بدن است، انواع مختلفی از مواد شیمیایی و داروها را مورد هدف قرار می دهد و آن ها را به اشکال و فرم های کم ضرر تر تبدیل و بدین ترتیب سمیت آن ها را کاهش می دهد. اگرچه با این کار خودش در معرض آسیب قرار می گیرد (۱۸).

در پژوهش حاضر مشخص شد که دگزاماتازون موجب افزایش معنی داری در حجم سینوزوئید، حجم ورید مرکزی و مجرای صفرایی و همچنین غلظت MDA و آنزیم های ALT و AST سرم شد.

دگزاماتازون موجب افزایش فعالیت گلیکوزین سنتتاز می شود و از طرفی پروتئین فسفاتاز ۱ (PP1) با دفسفریله کردن این آنزیم

و سیله هپاتوسیت‌ها احاطه می‌شود، بنابراین می‌توان نتیجه گرفت که کاهش در حجم سلول هپاتوسیت می‌تواند منجر به افزایش حجم سینوزوئیدها شود (۳۰).

در توافق با پژوهش‌های پیشین افزایش غلظت MDA در پژوهش حاضر می‌تواند ناشی از افزایش پراکسیداسیون لیپیدی در اثر تولید گونه‌های فعال اکسیژن (ROS) و کاهش سطح آنزیم‌های آنتیاکسیدانتی در اثر تیمار با دگزامتاژون باشد (۲ و ۳۱). دگزامتاژون از طریق افزایش سطح ROS، فعال شدن کاسپاز،^۳ افزایش پراکسیداسیون لیپیدی و مهار سیستم آنزیمی (SOD، GSH-Px) باعث ایجاد آسیب اکسیداتیو می‌شود (۳۲، ۳۳). آنزیم‌های آنتیاکسیدانتی، ROS را به ترکیبات کم ضررتری تبدیل می‌کنند و سلول‌ها را از آسیب‌های اکسیداتیو محافظت می‌کنند (۳۴). Y1 و همکارانش نشان دادند که دگزامتاژون موجب کاهش سطح آنزیم‌های آنتیاکسیدانتی SOD و GSH-Px می‌شود. در نتیجه تولید ROS و پراکسیداسیون لیپیدها به میزان قابل توجهی افزایش یافته، که نشان‌دهنده رشد استرس اکسیداتیو است (۵). از طرفی تولید گونه‌های فعال اکسیژن (ROS) و ایجاد پراکسیداسیون لیپیدی و در نتیجه بروز استرس اکسیداتیو خود دلیلی بر کاهش ظرفیت آنتیاکسیدانتی تام سرم است (۳۵).

نتایج حاصل از این پژوهش نشان داد که پنتوکسی‌فیلین می‌تواند موجب بهبود تغییرات ناشی از دگزامتاژون در بافت کبد موش‌های سوری شود. پنتوکسی‌فیلین یک مهارکننده غیر اختصاصی فسفودیاستراز است که قادر به افزایش سطح cAMP و cGMP می‌باشد. این نوکلئوتیدها با کاهش پراکسیداسیون لیپید از استرس اکسیداتیو جلوگیری می‌کنند و بنابراین با کاهش رادیکال‌های آزاد باعث کاهش آسیب سلول‌های کبدی می‌شود (۳۶). پنتوکسی‌فیلین می‌تواند موجب افزایش میزان فعالیت سوبراکسیدیدیسموتاز، گلوتاتیون‌پراکسیداز، کاتالاز و ردوکتاز و از طرفی کاهش AST، ALT، MDA، گردد (۱، ۹، ۱۰) که نشان‌دهنده نقش آنتیاکسیدانتی قوی آن می‌باشد. علاوه بر این با مهار TNF- α (Tumor necrosis factor alpha) (TNF- α) و اینتلرولوکین‌ها (IL-1 β ، IL-6) و با کاهش رونویسی از ژن آن، باعث کاهش آپوپتوز می‌گردد. پنتوکسی‌فیلین همچنین با غیرفعال کردن ژن‌هایی که نقش مهمی در التهاب دارند مثل سیتوکارین‌ها، موجب تقویت سیستم ایمنی و افزایش مقاومت بدن در مقابل بسیاری از بیماری‌ها می‌شود (۱۱). بنابراین پنتوکسی‌فیلین می‌تواند از طریق حذف رادیکال‌های آزاد و افزایش توان آنتیاکسیدانتی سلول‌های کبدی، کبد را در برابر آسیب ناشی از دگزامتاژون محافظت کند. با یافته‌هایی به دست آمده از این تحقیق که برای اولین بار تأثیر پنتوکسی‌فیلین را در مقابل با سمتی ناشی از دگزامتاژون بر روی

هپاتوسیت‌ها منجر به خونریزی و واکنش زایی در سلول شود (۱۰). در این پژوهش افزایش حجم ورید مرکزی به عنوان رگ اصلی کبد که خون سینوزوئیدها به آن تخلیه می‌شود (۱۵) نشان‌دهنده تحت تأثیر قرار گرفتن این ورید با دگزامتاژون است. مطالعات دیگر نشان داده است که کورتیزول با تولید نیتریک اکسید موجب اتساع عروق و درنتیجه افزایش جریان خون کلیه می‌شود. با این حال، دگزامتاژون و دیگر گلوكوكورتيكويديدا بيان NOS (نيتريليك اكسيد سنتتاز) اندولتيلال را کاهش می‌دهند که باعث افزایش فشار خون می‌شود، بنابراین مکانیسم اتساع عروق کبدی ناشی از دگزامتاژون نیاز به تحقیق بیشتری دارد (۱۰). بررسی‌ها همچنین نشان داده است که در فرایندهای آسیب کبدی، اتساع مجرای صفراء و اتساع سینوزوئیدها و شریان‌ها دیده می‌شود (۲۳). این تکثیر و اتساع برای حفظ هوموستاز در مجرای صفراء و عمل کرد نوتروفیل‌ها تأثیر دارند. افزایش تعداد نوتروفیل‌ها در مناطق پورتال موجب اتساع مجرای صفراء می‌شوند (۲۵).

مطالعه حاضر همچنین نشان داد که دگزامتاژون موجب کاهش معنی‌دار تعداد سلول‌های هپاتوسیت و حجم سلول و هسته هپاتوسیت و همکاران نیز نشان دادند که دگزامتاژون موجب Mikiewicz کاهش فعالیت تکثیر هپاتوسیت‌ها و درنتیجه کاهش ظرفیت بازسازی و کاهش تعداد سلول هپاتوسیت می‌گردد. بازسازی یک روند حیاتی برای بازیابی کید پس از آسیب است. دگزامتاژون با مهار بیان فاکتور رشد هپاتوسیت (HGF)، منجر به کاهش ظرفیت تکثیر سلول هپاتوسیت می‌شود (۱۹، ۲۶). همچنین با تأخیر در بیان IL-6 (Tumor necrosis factor alpha) TNF- α و Interleukin 6 (IL-6) منجر به تأخیر در بیان و انتقال سیکلین D1 و اخたلال در سنتز DNA شده و در نتیجه مانع آغاز بازسازی می‌گردد. علاوه بر این، دگزامتاژون با کاهش NF- κ B (nuclear factor NF- κ B kappa light chain enhancer of activated B cells) (signal transduction and activator of STAT3 activation protein1) AP-1 و transcription 3) تکثیر سلول در مرحله G1 می‌شود (۲۷، ۱۹). از طرفی، از بین رفتن هپاتوسیت‌ها می‌تواند به دلیل غلظت بالای نمک‌های صفراء پس از انسداد مجرای صفراء باشد (۲۸، ۲۹). با توجه به اینکه در مطالعه حاضر، کاهش حجم سلول هپاتوسیت و افزایش حجم سینوزوئیدها مشاهده شد و از طرفی چون دیواره سینوزوئیدها به

دگراماتازون بر روی کبد و مکانیسم‌های دقیق پنتوکسیفیلین نیاز به تحقیقات گسترش‌داری دارد.

تشکر و قدردانی

این مقاله مستخرج از طرح پژوهشی با شماره قرارداد ۹۷/۵۱۱۹ می‌باشد که با حمایت مالی حوزه معاونت پژوهشی و فناوری دانشگاه اراک انجام گرفته است. بدین وسیله بر خود لازم می‌دانیم مراتب تشکر و قدردانی خود را از معاونت محترم اعلام داریم که با حمایت‌های خود انجام این پژوهه را مقدور نمودند.

References:

- 1- Luo M, Dong L, Li J, Wang Y, Shang B. Protective effects of pentoxifylline on acute liver injury induced by thioacetamide in rats. *Int J Clin Exp Pathol* 2015; 8(8): 8990-6.
- 2- Sadeghzadeh F, Soleimani MS, Mahmoodi M. Vitamin C ameliorates the adverse effects of dexamethasone on sperm motility, testosterone level and spermatogenesis indexes in mice. *Hum Exp Toxicol* 2019; 38(4): 409-18.
- 3- Cantiello M, Giantin M, Carletti M, Lopparelli RM, Capolongo F, Lasserre F et al. Effects of dexamethasone, administered for growth promoting purposes, upon the hepatic cytochrome P450 3A expression in the veal calf. *Biochem Pharmacol* 2009; 77(3): 451-463.
- 4- Jackson ER, Kilroy C, Joslin DL, Schomaker SJ, Pruimboom-Brees I, Amacher DE. The early effects of short-term dexamethasone administration on hepatic and serum alanine aminotransferase in the rat. *Drug Chem Toxicol* 2008; 31(4): 427-45.
- 5- Yi J, Zhu R, Wu J, Wu J, Xia W, Zhu L et al. In vivo protective effect of betulinic acid on dexamethasone induced thymocyte apoptosis by reducing oxidative stress. *Pharmacol Rep* 2016; 68(1): 95-100.
- 6- Mondo CK, Yang WS, Zhang N, Huang TG. Anti-oxidant effects of atorvastatin in dexamethasone-induced hypertension in the rat. *Clin Exp Pharmacol Physiol* 2006; 33(11): 1029-34.
- 7- Zhang Y, Croft KD, Mori TA, Schyvens CG, McKenzie KUS, Whitworth JA. The antioxidant tempol prevents and partially reverses dexamethasone-induced hypertension in the rat. *Am J Hypertens* 2004; 17(3): 260-5.
- 8- Najar N, Piraye A, Babaei S, Bayat M. Effect of pentoxifylline on Sertoli and Leydig cells count of experimentally induced type 1 diabetes in male rat. *J Army Univ Med Sci* 2013; 11(3): 188-95.
- 9- Ranjbar A, Baeeri M. The effect of pentoxifylline on malathion-induced mitochondrial damage in rat liver. *J Shahrekord Univ Med Sci* 2013; 15(4): 83-92.
- 10- Ayinde OC, Ogunnowo S, Ogedegbe RA. Influence of vitamin C and vitamin E on testicular zinc content and testicular toxicity in lead exposed albino rats. *BMC Pharmacol Toxicol* 2012; 13(1); 13-7.
- 11- Shinde A V, Ganu J A. Current concepts in the treatment of alcoholic liver disease. *Biomed Res* 2010; 21(3): 321-5.
- 12- Khorsandi L, Mirhoseini M, Mohamadpour M, Orazizadeh M, Khaghani S. Effect of curcumin on dexamethasone-induced testicular toxicity in mice. *Pharm Biol* 2013; 51(2): 206-12.
- 13- Karbalay-Doust S and Noorafshan A. Stereological study of the effects of nandrolone decanoate on the mouse liver. *Micron* 2009; 40(4): 471-5.
- 14- Soleimani Mehranjani M, Noorafshan A, Momeni HR, Abnosi MH, Mahmoodi M Anvari. Stereological study of the effects of vitamin E on

کبد و آنزیمهای کبدی مورد بررسی قرارداد، مشخص شد که دگراماتازون می‌تواند آسیب‌های بافتی و عملکردی در کبد اعمال کند و از طرفی آشکار شد که یکی از مکانیسم‌های اصلی آسیب سلول‌های کبدی ناشی از مصرف دگراماتازون آسیب اکسیدانتیو است که می‌تواند توسط آنتیاکسیدان‌های مختلف مهار شود. نتایج نشان داد که پنتوکسیفیلین به عنوان یک فاکتور آنتیاکسیدانت و ضدالتهاب می‌تواند در بهبود آسیب‌های استرس اکسیدانتیو حاصل از دگراماتازون نقش ایفاء کند. با این حال بررسی اثرات مخرب داروی

- testis structure in rats treated with paranonylphenol. Asian J Androl 2009; 11: 508-16.
- 15- Shariatzadeh SMA, Soleimani Mehranjani M, Naderi Noreini S. Evaluation of the protective effect of curcumin on liver tissue in NMRI mice treated with sodium arsenite. SJKUMS 2017; 87: 92-106.
- 16- Esterbauer H, Cheeseman KH. Determination of aldehydic lipid peroxidation product; Malondialdehyde and 4-hydroxynonenal. Methods Enzymol 1990; 186: 407-21.
- 17- Saremi A, Changizi Ashtiani S, Kalantari A. The combination of vitamin E supplementation and intensive exercise on testicular oxidative stress and spermatogenesis in male rats. Sport Physiol 2014; 6(23): 43-54.
- 18- Gaim K, Gebru G, Abba S. The effect of arsenic on liver tissue of experimental animals (fishes and mice)- a review article. Inter J Sci Res Pub 2015; 5(5): 1-9.
- 19- Mikiewicz M, Otracka I, Pazdior-czapula K, Rotkiewicz T. Influence of long-term, high-dose dexamethasone administration on proliferation and apoptosis in porcine hepatocytes. Res Vet Sci 2017; 112: 141-8.
- 20- O'Brien P, Slaughter M, Polley S, Kramer K. Advantages of glutamate dehydrogenase as a blood biomarker of acute hepatic injury in rats. Lab Anim 2002; 36: 313-21.
- 21- Eken H, Ozturk H, Ozturk H, Buyukbayram H. Dose-related effects of dexamethasone on liver damage due to bile duct ligation in rats. World J Gastroenterol 2006; 12(33): 5379-83.
- 22- Abdelhalim MA, Jarrar BM. Gold nanoparticles induced cloudy swelling to hydropic degeneration, cytoplasmic hyaline vacuolation, polymorphism, binucleation, karyopyknosis, karyolysis, karyorrhexis and necrosis in the liver. Lipids Health Dis. 2011; 22: 166-70.
- 23- Eslimi Isfahani D, Oryan Sh, Nabuni M, Azarnia M, Tabatabaei ZS. The considering of histological changes of liver in cholestatic rats in different time periods. JCT 2013; 4(1): 55-61.
- 24- Munshi MK, Priester S, Gaudio E, Yang F. Regulation of biliary proliferation by neuroendocrine factors. Am J Pathol. 2011; 178(2): 472-84.
- 25- Muratore CS, Harty MW, Papa EF, Tracy TF Jr. Dexamethasone alters the hepatic inflammatory cellular profile without changes in matrix degradation during liver repair following biliary decompression. J Surg Res 2009; 156(2): 231-9.
- 26- Kimura M, Moteki H, Ogihara M. Inhibitory effects of dexamethasone on hepatocyte growth factor-induced DNA synthesis and proliferation in primary cultures of adult rat hepatocytes. J Pharmacol Sci 2011; 115: 390-8.
- 27- Debonera F, Krasinkas AM, Gelman AE, Aldeguer X, Que X, Shaked A, Olthoff KM. Dexamethasone inhibits early regenerative response of rat liver after cold preservation and transplantation. Hepatology 2003; 38: 1563-72.
- 28- Mathie RT, Nagorney DM, Lewis MH. Hepatic hemodynamics after chronic obstruction of the biliary tract in the dog. Surg Gynecol Obstet 1988; 166: 125-30.
- 29- Roselino JE, Castro E, Silva JR, Cenevi R. Lack of control liver gluconeogenesis in cholestatic rats with reduced portal blood flow. Hepatology 1992; 16: 1055-60.
- 30- Noorafshan A, Esmail-Zadeh B, Bahmanpour S, Poost-Pasand A. Early stereological changes in liver of Sprague-Dawley rats after streptozotocin injection. Indian J Gastroenterol 2005; 24: 104-7.
- 31- Silva RJ, Vendramini V, Restelli A, Bertolla Rp, Kempinas w, Avellar M c. Impact of adrenalectomy and dexamethasone treatment on testicular morphology and sperm parameters in rats: insights into the adrenal control of male reproduction. Andrology 2014; 2(6): 835-46.

- 32- Feng YL, Tang XL. Effect of glucocorticoid-induced oxidative stress on the expression of Cbfa1. *Chem Biol Interact* 2014; 207: 26–31.
- 33- Almeida M, Han L, Ambrogini E, Weinstein RS, Manolagas SC. Glucocorticoids and tumor necrosis factor an increase oxidative stress and suppress Wnt protein signaling in osteoblasts. *J Biol Chem* 2011; 286: 44326–35.
- 34- Circu ML, Aw TY. Reactive oxygen species, cellular redox system and apoptosis. *Free Radic Biol Med* 2010; 48: 749–62.
- 35- Yi J, Zhu R, Wu J, Wu J, Xia W, Zhu L, et al. In vivo protective effect of betulinic acid on dexamethasone induced thymocyte apoptosis by reducing oxidative stress. *Pharmacol Rep* 2016; 68(1): 95-100.
- 36- Koohi MK, Shahroziyan E, Daraei B, Javaheri A, Sadeghi Hashjin G. The pretreatment effects of pentoxifylline on aflatoxin B1-induced oxidative damage in perfused rat liver. *Iran J Vet Med* 2011; 5(1): 43-7.

PROTECTIVE EFFECT OF PENTOXIFYLLINE ON LIVER INJURY INDUCED BY DEXAMETHASONE IN MICE

Malek Soleimani Mehranjani^{1}, Monireh Mahmoodi², Firouzeh Sadeghzadeh³*

Received: 01 Sep, 2019; Accepted: 29 Nov, 2019

Abstract

Background & Aims: Dexamethasone (Dex) is one of the most commonly used synthetic glucocorticoid but its excessive intake can cause severe changes in liver function. The purpose of the study was to investigate the effect of pentoxifylline (PTX) on Dex-induced hepatic injury in mice.

Materials & Methods: 24 adult male NMRI mice (36 ± 2 gr) were divided randomly into 4 groups (n=6): control, dexamethasone (7mg/kg/day i.p.), pentoxifylline (100mg/kg/day i.p.), and dexamethasone+pentoxifylline. After 7 days of treatment, the mice were anesthetized and their liver was removed and weighed. Then liver tissue elements were evaluated by stereological technique. The serum levels of malondialdehyde (MDA), total antioxidant capacity, and liver enzymes including alanine aminotransferase [ALT] and aspartate aminotransferase [AST]) were also measured. The data were analyzed by one way ANOVA and Tukey's test using SPSS soft (version 16) and means were considered significantly different at $p < 0.05$.

Results: A significant decrease in the mean volume of the hepatocytes and their nuclei, total number of hepatocyte cells ($p < 0.01$) and serum total antioxidant capacity ($p < 0.001$) and a significant increase in total volume of sinusoids, bile duct, hepatic artery and the mean levels of Serum MDA, ALT, AST were observed in Dex group compared to the control groups ($p < 0.01$). Dex-induced liver damage improved in the Dex+ PTX group to the same extent as the control group ($p > 0.05$).

Conclusion: Our results revealed that PTX can improve the toxic effects of Dex on mice liver tissue possibly by reducing oxidative stress and lipid peroxidation and increasing total antioxidant capacity.

Keywords: Dexamethasone, Pentoxifylline, Liver, Stereology, Mice.

Address: Department of Biology, Faculty of Science, Arak University, Arak, Iran.

Tel: +989188641048

Email: m-soleimani@araku.ac.ir

SOURCE: URMIA MED J 2020; 30(10): 855 ISSN: 1027-3727

¹ Professor, Embryology & Histology, Arak University, Arak, Iran (Corresponding Author)

² Assistant Professor, Developmental Biology, Arak University, Arak, Iran

³ Master of Science, Developmental Biology, Arak University, Arak, Iran